

تحليل إحصائي للعملية البواسونية غير المتجانسة الموصوفة بعملية وايبل مع تطبيق

مثنى صبحي سليمان^{**}

باسل يونس ذنون الخياط*

الملخص

يتناول هذا البحث دراسة العملية البواسونية غير المتجانسة والموصوفة بعملية وايبل، ولتقدير المعدل الزمني للحدث تم استخدام طريقتين إحصائيتين مختلفتين وهما طريقة الإمكان الأعظم وطريقة المرربعات الصغرى، فضلاً عن الطريقة البيانية التي تحرّى عن مدى ملاءمة نموذج قانون القوّة للبيانات قيد الدراسة وإيجاد مقدر للمعدل الزمني للحدث.

ويتضمن التطبيق العملي دراسة الفترات بين حدوث الأمطار في محطتين رئيسيتين لأنواع الجو في محافظة نينوى، كما تم تقدير المعدل اليومي لسقوط الأمطار بالطرق الإحصائية المقترحة في البحث.

Statistical Analysis of Non-Homogeneous Poisson Process Described as Weibull Process with an Application

ABSTRACT

This research deals with the non-homogenous Poisson process described as Weibull process. In order to estimate the rate of occurrence, maximum likelihood and least square methods have been used, in addition to the graphical method which investigates the suitability of the power low function of the data for the research and estimating the rate of occurrence.

The practical application includes studying intervals between rainfall in two main weather forecasting stations of Nineva. Thus, the rate of rainfalls has been estimated by using the suggested statistical method in the research.

* أستاذ / كلية علوم الحاسوب والرياضيات / جامعة الموصل.

** مدرس / قسم علم الحاسوب / كلية الحدباء الجامعية.

1. المقدمة : *Introduction*

تُعد العملية البواسونية غير المتGANسة من العمليات النقطية التي تستخدم لنموذج الظواهر العشوائية وخصوصاً تلك التي تعتمد على الزمن في حدوثها. وقد تم تحصيص هذا البحث لدراسة العملية البواسونية غير المتGANسة الموصوفة بدالة وايبيل(Weibull Function) كمعدل زمني لحدوث الحوادث، وتقدير معلماتها باستخدام طرائق التقدير المختلفة.

وتُعد دالة وايبيل من الدوال الشائعة في دراسة نماذج نمو المعولية (Reliability Growth Models)، وتعود الأفكار الأولى لهذه المعالجة للباحث [Duane, 1964]⁽³⁾ الذي نشر مقالة قدم فيها بيانات فشل الأنظمة المختلفة في أثناء برامج تمتيتها، وبين الباحث أن هذه المعالجة مكافئة للعملية البواسونية غير المتGANسة الموصوفة بدالة وايبيل للمعدل الزمني للحدث.

يُطلق على العملية البواسونية غير المتGANسة الموصوفة بدالة وايبيل للمعدل الزمني للحدث أسم عملية وايبيل (Weibull Process) والسبب في ذلك هو أن التوزيع الاحتمالي لفترات بين حدوث الحوادث يتوزع على وفق توزيع وايبيل (Weibull Distribution).

وقد استخدم هذه العملية العديد من الباحثين أمثال الباحث [Crow, 1997]⁽²⁾، وكذلك [Soyer et al., 2005]⁽⁴⁾، وفي بحث [Erkanli et al., 2002]⁽¹⁰⁾.

2. عملية وايبيل : *Weibull Process*

لو فرضنا أن العملية التصادفية $\{N(t) ; t \geq 0\}$ هي عملية بواسونية غير متGANسة بمعدل زمني للحدث موصوف بالصيغة الآتية:

$$\lambda(t) = \beta \lambda t^{\beta-1}, \quad t \geq 0; \quad \lambda, \beta > 0 \quad \dots \dots \quad (1)$$

فإن العملية $\{N(t) ; t \geq 0\}$ عندئذ تسمى عملية وايبيل، وتتوزع توزيع بواسون بالمعلمة $\lambda(t)$ في الفترة الزمنية $[0, t_0]$ [Soyer et al., 2005]⁽¹⁰⁾. ومن مواصفات هذه العملية أنَّ توزيع الفترات بين حدوث الحوادث يتبع توزيع وايبيل بدالة كثافة احتمال:

$$f(t/\beta, \lambda) = \beta\lambda t^{\beta-1} e^{-\lambda t_0^\beta} \quad t \geq 0; \quad \lambda, \beta > 0 \quad \dots \dots \quad (2)$$

إذ إن λ تمثل معلمة القياس (Scale parameter)، و β تمثل معلمة الشكل (Shape parameter).

فإذا كانت معلمة الشكل β في دالة وايبل للمعدل الزمني للحوادث في الصيغة (1) أكبر من الواحد فإن هنالك تزايداً في المعدل الزمني للحوادث في العملية البواسونية غير المتتجانسة مع الزمن، أما إذا كانت أقل من الواحد فإن هنالك تناقصاً في المعدل الزمني للحوادث في العملية البواسونية غير المتتجانسة مع الزمن. وفي حالة أن معلمة الشكل β في دالة وايبل تساوي الواحد فإن ذلك يعطي مؤشراً على أن المعدل الزمني للحوادث في العملية قيد الدراسة هو كمية ثابتة مع الزمن، وعليه فإن دالة وايبل للمعدل الزمني للحوادث ستتحول إلى دالة التوزيع الأسّي

⁽⁴⁾[Erkanli et al., 2002].

إن الدالة التراكمية للمعدل الزمني للحوادث لعملية وايبل في الفترة الزمنية $[0, t_0]$ معرفة بالشكل الآتي:

$$\begin{aligned} m(t) &= \int_0^t \lambda(u) du \\ &= \int_0^t \beta\lambda u^{\beta-1} du = \lambda t^\beta; \quad 0 \leq t \leq t_0. \end{aligned} \quad \dots \dots \quad (3)$$

وقد أطلقَ على هذه الدالة في أغلب البحوث أسم دالة قانون القوة (Power Law Function).

إن العدد الكلي للحوادث التي تحدث في العملية التصادفية $\{N(t); t \geq 0\}$ هو متغير عشوائي يتوزع توزيع بواسون (Poisson Distribution) بمعدل عدد مرات الحوادث $m(t)$. أي إن احتمال أن يكون هنالك n من الحوادث في الفترة الزمنية $[0, t_0]$ هو:

$$p\{N(t) = n\} = \frac{[m(t_0)]^n e^{-m(t_0)}}{n!}; \quad n=0,1,2,\dots \quad \dots \dots \quad (4)$$

مع بقاء فرضية أن حدوث الحوادث في فترة زمنية معينة مستقل إحصائيا عن حدوث الحوادث في فترات زمنية أخرى غير متداخلة مع بعضها.

3. تقدير معلمة عملية وايبل: *Estimation of Weibull Process Parameter*

هناك عدة طرائق اقترحها العديد من الباحثين لتقدير معلمة العملية البواسونية غير المتتجانسة الموصوفة بعملية وايبل، وأغلب البحوث الحديثة حول هذا الموضوع اقترح باحثوها طرائق لامعلمية في التقدير (Non-parametric Methods). ففي بحث [Leemis, 1991]⁽⁸⁾ تم عرض طريقة لامعلمية لتقدير معلمة العملية البواسونية غير المتتجانسة. وفي بحث [Kuhl et al., 1997]⁽⁶⁾، وبحث [Kuo et al., 1997]⁽⁷⁾ تم عرض عملية وايبل ولكن باستخدام استدلال بيز(Bayesian Inference). كما تم استخدام استدلال بيز لتقدير معلمات دالة وايبل للمعدل الزمني للحدث في بحث [Erkanli et al., 2002]⁽⁴⁾ وبحث [Soyer et al., 2005]⁽¹⁰⁾. ومن ناحية أخرى، فإن أوسع الطرائق لتقدير الإحصائي انتشاراً هي طريقة الإمكان الأعظم (Maximum Likelihood Method) وطريقة المربعات الصغرى (Least Squares Method)، وقد استُخدمت هاتان الطرقتان لتقدير المعدل الزمني للحدث في بحث [Massey et al., 1996]⁽⁹⁾ لتقدير المعدل الزمني للحدث الموصوف بالدالة الخطية (Linear Function)، وكذلك استُخدمت هاتان الطرقتان لتقدير في بحث [Crow, 1997]⁽²⁾ لتقدير المعدل الزمني للحدث في عملية وايبل. كما عرض الباحثان [Kuhl and Wilson, 2000]⁽⁵⁾ طريقة المربعات الصغرى في تقدير المعدل الزمني للحدث في العملية البواسونية غير المتتجانسة.

3-1 الطريقة البيانية :*Graphical Method*

تُعد الطريقة البيانية إحدى الطرق التقريبية لتقدير معلمة العملية البواسونية غير المتاجسة وذلك من خلال رسم الدالة التراكمية للمعدل الزمني للحوادث مع الزمن. كما تستخدم الطريقة البيانية للتحري عن مدى ملاءمة دالة قانون القوّة للعملية البواسونية غير المتاجسة [Duane, 1964]⁽³⁾. فإذا تم أخذ اللوغاريتم الطبيعي للدالة التراكمية للمعدل الزمني للحوادث لعملية وايبل فإننا نحصل على المعادلة الآتية:

$$\ln[m(t)] = \ln \lambda + \beta \ln t \quad \dots \dots \quad (5)$$

وكان شكل الانتشار لل نقاط بين العدد المترافق للحوادث مع أوقات حدوثها بالمقاييس اللوغاريتمي للعملية قيد الدراسة هو بشكل خط مستقيم تقربياً، فإن دالة وايبل للمعدل الزمني للحوادث ستكون ملائمة للعملية البواسونية غير المتاجسة قيد الدراسة.

ومن خلال رسم المستقيم الملائم للعملية أو شكل الانتشار يمكن إيجاد مقدرات خام لمعلمتي القياس والشكل للدالة التراكمية للمعدل الزمني للحوادث، إذ إن تقاطع المستقيم مع المحور الصادي يعطي مقدراً تقربياً لمعلمة القياس λ بالمقاييس اللوغاريتمي. أما ميل المستقيم فيعطي مقدراً تقربياً لمعلمة الشكل β .

3-2 طريقة الإمكان الأعظم :*Maximum Likelihood Method*

تُعد طريقة الإمكان الأعظم من الطرق الشائعة في تقدير معلمة العملية البواسونية غير المتاجسة. وكما هو معلوم فإن التوزيع الاحتمالي لفترات بين حدوث الحوادث في العملية البواسونية غير المتاجسة يتبع التوزيع الأسّي بالمعلمة $\lambda(t)$ ضمن الفترة الزمنية $[0, t_0]$ وبدالة كثافة احتمال موضحة في الصيغة الآتية:

$$f(t) = \lambda(t) e^{-\int_0^t \lambda(s) ds}, \quad 0 < t \leq t_0 \quad \dots \dots \quad (6)$$

فلو كانت $t_n, t_1, t_2, \dots, t_0$ تمثل الفترات بين حدوث الحوادث في العملية البواسونية $\{N(t); t \geq 0\}$ ، وبالتعويض بدالة المعدل الزمني للحوادث لعملية وايبل

الموضحة بالصيغة (1) في التوزيع الاحتمالي لفترات بين حدوث الحوادث نحصل على دالة كثافة الاحتمال للتوزيع الاحتمالي لفترات بين الحوادث لعملية وايبيل كما في الصيغة (2).

إن دالة الإمكان لفترات بين حدوث الحوادث في عملية وايبيل هي بالشكل

الاتي:

$$L = \beta^n \lambda^n e^{-\lambda t_0^\beta} \prod_{i=1}^n t_i^{\beta-1}, \quad 0 < t_i \leq t_0 \quad \dots \dots \quad (7)$$

وإن اللوغاريتم الطبيعي لدالة الإمكان هو:

$$\ln L = n \ln \beta + n \ln \lambda - \lambda t_0^\beta + (\beta - 1) \sum_{i=1}^n \ln t_i \quad \dots \dots \quad (8)$$

ولإيجاد مقدري الإمكان الأعظم للمعلمتين λ و β ، فإنه يتم أخذ المشقة الأولى للمعادلة (8) بالنسبة الى كل من λ و β كما يأتي:

$$\frac{\partial \ln L}{\partial \lambda} = \frac{n}{\lambda} - t_0^\beta \quad \dots \dots \quad (9)$$

$$\frac{\partial \ln L}{\partial \beta} = \frac{n}{\beta} - \lambda t_0^\beta \ln t_0 + \sum_{i=1}^n \ln t_i \quad \dots \dots \quad (10)$$

وبمساواة المعادلتين السابقتين بالصفر نحصل على مقدري الإمكان الأعظم للمعلمتين λ و β على التوالي كما يأتي:

$$\hat{\lambda} = \frac{n}{t_0^\beta}, \quad \dots \dots \quad (11)$$

$$\hat{\beta} = \frac{n}{\lambda t_0^\beta \ln t_0 - \sum_{i=1}^n \ln t_i}. \quad \dots \dots \quad (12)$$

وبما إن $(\lambda t_0^\beta) = n$ فإن المعادلة (12) ستكون بالشكل الآتي:

$$\hat{\beta} = \frac{n}{n \ln t_0 - \sum_{i=1}^n \ln t_i} . \quad \dots \dots (13)$$

3-3 طريقة المربيعات الصغرى : Least Squares Method

تُعد طريقة المربيعات الصغرى من الطرق المعروفة في تقدير معلمات العملية البواسونية غير المتتجانسة، إلا أنها غير شائعة كثيراً في هذا المجال وذلك لأن أغلب معلمات العمليات البواسونية غير المتتجانسة المقترحة من قبل الباحثين لا تتلاءم مع هذه الطريقة.

لو تمأخذ اللوغاريتم الطبيعي لدالة قانون القوة الموضح في الصيغة (3) نحصل على الصيغة الآتية:

$$\ln[m(t_i)] = \ln \lambda + \beta \ln t_i \quad \dots \dots (14)$$

وعليه لو فرضنا المقادير الآتية [Crow, 1997] :

$$y_i = \ln[m(t_i)]$$

$$a = \ln \lambda$$

$$b = \beta$$

$$x_i = \ln t_i$$

..... (15)

وفرضنا أنَّ مجموعة البيانات هي أزواج من قيم (x_i, y_i) ، وطبقاً لمبدأ المربيعات الصغرى الذي يقلل من المسافة العمودية بين نقاط البيانات والخط المستقيم الملائم لهذه البيانات، فإنَّ أفضل خط مستقيم ملائم لهذه البيانات هو المستقيم الذي تمثله المعادلة الآتية:

$$y_i = a + bx_i \quad \dots\dots (16)$$

إذ إنَّ:

$$\sum_{i=1}^n (\hat{a} + \hat{b}x_i - y_i)^2 = \min_{a,b} \sum_{i=1}^n (a + bx_i - y_i)^2 \quad \dots\dots (17)$$

والمقدّران \hat{a} , \hat{b} هما مقدّراً المربعات الصغرى للمعلمتين a و b . وكما هو معروف جيّداً فإنَّ المقدّرين يمكن إيجادهما من خلال المعادلتين الآتيتين:

$$\hat{a} = \frac{\sum y_i}{n} - \hat{b} \frac{\sum x_i}{n} \quad \dots\dots (18)$$

$$\hat{b} = \frac{\sum x_i y_i - \frac{(\sum x_i)(\sum y_i)}{n}}{\sum x_i^2 - \frac{(\sum x_i)^2}{n}} \quad \dots\dots (19)$$

وبالتعويض عن قيم x_i و y_i و a و b بما يقابلها من الصيغ (15) نحصل على ما ياتي:

$$\ln \lambda = \frac{\sum \ln m(t_i)}{n} - \hat{\beta} \frac{\sum \ln t_i}{n} \quad \dots\dots (20)$$

أي إنَّ:

$$\hat{\lambda} = e^{\frac{1}{n}(\sum \ln m(t_i) - \hat{\beta} \sum \ln t_i)} \quad \dots\dots (21)$$

وكذلك فإنَّ:

$$\hat{\beta} = \frac{\sum (\ln t_i)(\ln m(t_i)) - \frac{(\sum \ln t_i)(\sum \ln m(t_i))}{n}}{\sum (\ln t_i)^2 - \frac{(\sum \ln t_i)^2}{n}} \quad \dots\dots (22)$$

إذ إنَّ $\hat{\lambda}$ و $\hat{\beta}$ يمثلان مقدّري المربعات الصغرى للمعلمتين λ و β على التوالي.

4. حدّ الثقة للمعدل الزمني للحدوث لعملية وايبل:

Confidence Intervals for the Rate of Occurrence of Weibull Process

لإيجاد حدّي الثقة لمقدّر الإمكان الأعظم للمعدل الزمني للحدوث لعملية وايبل وذلك على افتراض أن هذا المقدّر يتبع التوزيع الطبيعي، فعند مستوى معنوية α فإنَّ حدّي الثقة للمعدل الزمني للحدوث يمكن إيجادهما كما يأتي:

$$P(-Z_{\alpha/2} < \frac{\hat{\lambda}(t) - \lambda(t)}{\sqrt{Var(\hat{\lambda}(t))}} < Z_{\alpha/2}) = 1 - \alpha \quad \dots \dots (23)$$

إذ إنَّ $Z_{\alpha/2}$ تمثل القيمة الجدولية من جداول التوزيع الطبيعي عند مستوى معنوية α . أي إنَّ حدّي الثقة للمعدل الزمني للحدوث هما:

$$C.I = \hat{\lambda}(t) \mp Z_{\alpha/2} \sqrt{Var(\hat{\lambda}(t))} \quad \dots \dots (24)$$

إذ إنَّ $\hat{\lambda}(t)$ تمثل مقدّر الإمكان الأعظم للمعدل الزمني للحدوث لعملية وايبل. أما تباين $(\hat{\lambda}(t))^2$ فيمكن إيجاده باستخدام المعادلة الآتية: [Crow, 1997]

$$\begin{aligned} Var[\hat{\lambda}(t)] &= \left(\frac{\partial \hat{\lambda}(t)}{\partial \lambda} \right)^2 Var(\hat{\lambda}) + \left(\frac{\partial \hat{\lambda}(t)}{\partial \beta} \right)^2 Var(\hat{\beta}) \\ &\quad + 2 \left(\frac{\partial \hat{\lambda}(t)}{\partial \lambda} \right) \left(\frac{\partial \hat{\lambda}(t)}{\partial \beta} \right) Cov(\hat{\lambda}, \hat{\beta}) \end{aligned} \quad \dots \dots (25)$$

إذ إنَّ $\hat{\lambda}$ و $\hat{\beta}$ هما مقدّرا الإمكان الأعظم للمعلمتين λ و β على التوالي. في حين أنَّ $Var(\hat{\lambda})$ و $Var(\hat{\beta})$ يمثلان تباين كل من المقدّرين $\hat{\lambda}$ و $\hat{\beta}$ على التوالي. أما $Cov(\hat{\lambda}, \hat{\beta})$ فيمثل التغير بين $\hat{\lambda}$ و $\hat{\beta}$.

ويمكن توضيح هذه التباينات في مصفوفة التباين والتغير (Variance-Covariance Matrix) كما يأتي:

$$Var - Cov(\hat{\lambda}, \hat{\beta}) = \begin{bmatrix} Var(\hat{\lambda}) & Cov(\hat{\lambda}, \hat{\beta}) \\ Cov(\hat{\lambda}, \hat{\beta}) & Var(\hat{\beta}) \end{bmatrix} \quad \dots \dots (26)$$

وكما هو معلوم فإنَّ هذه المصفوفة تمثل معكوس مصفوفة المعلومات لفيشر (Fisher's Information Matrix)، أي أنَّ:

$$Var - Cov(\hat{\lambda}, \hat{\beta}) = I^{-1}$$

إذ إنَّ I تمثل مصفوفة معلومات فيشر، كما يأتي:

$$I = \begin{bmatrix} -E \frac{\partial^2 \ln L}{\partial \lambda^2} & -E \frac{\partial^2 \ln L}{\partial \lambda \partial \beta} \\ -E \frac{\partial^2 \ln L}{\partial \lambda \partial \beta} & -E \frac{\partial^2 \ln L}{\partial \beta^2} \end{bmatrix} \quad \dots\dots (27)$$

ولإيجاد عناصر مصفوفة معلومات فيشر فإننا نحتاج إلى استخدام المعادلة في الصيغة (8)، التي تمثل لوغاريتيم دالة الإمكان لفترات بين الحوادث في عملية وايل، فالحد الأول من المصفوفة (27) يمثل المشتقة الثانية لهذه المعادلة بالنسبة إلى المعلمة λ وكما يأتي:

$$\frac{\partial^2 \ln L}{\partial \lambda^2} = -\frac{n}{\lambda^2} \quad \dots\dots (28)$$

والحد الرابع من هذه المصفوفة يمثل المشتقة الثانية لوغاريتيم دالة الإمكان بالنسبة إلى المعلمة β كما يأتي:

$$\frac{\partial^2 \ln L}{\partial \beta^2} = -\frac{n}{\beta^2} - \lambda t_0^\beta (\ln t_0)^2 \quad \dots\dots (29)$$

أما الحدان الثاني والثالث من هذه المصفوفة فيتمثلان مشتقة لوغاريتيم دالة الإمكان بالنسبة إلى كل من المعلمتين λ و β كما يأتي:

$$\frac{\partial^2 \ln L}{\partial \lambda \partial \beta} = -t_0^\beta \ln t_0 \quad \dots\dots (30)$$

وبالتعويض في المصفوفة (27)، وبعد إيجاد المعكوس لها نحصل على التباين لكل من $\hat{\lambda}$ و $\hat{\beta}$ وكذلك التغير بين $\hat{\lambda}$ و $\hat{\beta}$ كما في الصيغ الآتية:

$$Var(\hat{\lambda}) = \left[\frac{n}{\beta^2} + \lambda t_0^\beta (\ln t_0)^2 \right] / \left[\frac{n^2}{\lambda^2 \beta^2} + t_0^\beta (\ln t_0)^2 \left(\frac{n}{\lambda} - t_0^\beta \right) \right] \quad \dots (31)$$

$$Var(\hat{\beta}) = \left[\frac{n}{\lambda^2} \right] / \left[\frac{n^2}{\lambda^2 \beta^2} + t_0^\beta (\ln t_0)^2 \left(\frac{n}{\lambda} - t_0^\beta \right) \right] \quad \dots (32)$$

$$Cov(\hat{\lambda}, \hat{\beta}) = \left[-t_0^\beta \ln t_0 \right] / \left[\frac{n^2}{\lambda^2 \beta^2} + t_0^\beta (\ln t_0)^2 \left(\frac{n}{\lambda} - t_0^\beta \right) \right] \quad \dots (33)$$

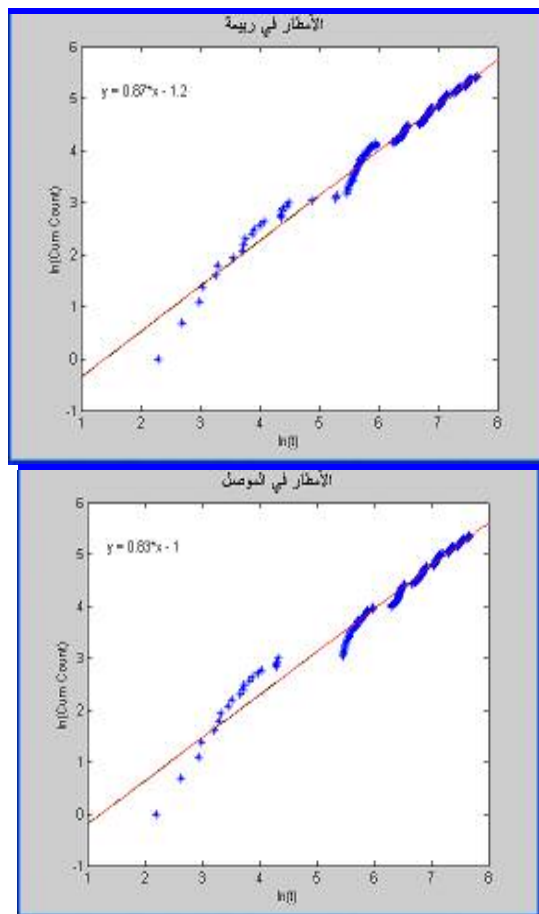
5. تطبيق عن الأمطار في محطات الأنواء الجوية في محافظة نينوى:

Application of Rainfall in the Weather Forecasting Stations of Nineva

تُعد الأمطار من المصادر المهمة في الزراعة لاسيما الزراعة الديميمية التي تعتمد على الأمطار اعتماداً مباشراً. لقد تم اختيار الأمطار المسجلة في محطتين للأنواء الجوية في محافظة نينوى وهما محطة الموصل وربيعة وللفترة من عام 1994 ولغاية عام 2000 [سليمان، 2006]. وقد تمت ملاحظة موسمية للأمطار فضلاً عن سلوكها الذي يبدو غير متماثل بين سنة وأخرى مما يُعد مؤشراً على أنَّ العمليتين التصادفيتين قيد الدراسة تعتمدان على الزمن (Time Dependent) في سلوكهما، أي إنَّهما عمليتان غير متجانستين (Non-Homogeneous Processes).

وقد قُبيل تقدير معلمتي العمليتين البواسونيتين غير المتجانستين في المحطتين قيد الدراسة، فإنه يتم أولاً فحص طبيعة البيانات والتحرّي عن مدى ملاءمة نموذج قانون القوّة في عملية وايبل لبيانات الدراسة. إنَّ ذلك يتم من خلال رسم شكل الانتشار للنقاط بين عدد الأيام المتراكمة لسقوط الأمطار مع أوقات حدوثها بالمقاييس اللوغاريتمي للعملية قيد الدراسة، فإذا كانت النقاط على شكل خط مستقيم تقريرياً فإن دالة وايبل للمعدل الزمني للحدث ستكون ملائمة للعملية البواسونية غير المت詹سة قيد الدراسة. وعليه فقد تم رسم هذه الأشكال للعمليتين في المحطتين

(الموصل وربيعة)، وكذلك تم رسم المستقيمين الملائمين للشكليين الانتشاريين وتقدير معادلتي الخطين المستقيمين. وهذا الشكلان موضحان في أدناه:



الشكل (1): الشكل الانتشاري للوغراريتmic العدد المتراكم للأيام الممطرة في محطتي الموصل وربيعة.

يبين الشكل (1) شكل انتشار النقاط بين عدد الأيام المتراكم لسقوط الأمطار مع أوقات حدوثها بالمقاييس اللوغاريتمي لكل محطة من المحطتين قيد الدراسة. ونلاحظ أنهما يأخذان شكلاً مستقيماً تقربياً، مما يدل على ملاءمة دالة قانون القوة التي تمثل معلمة عملية وايبل لبيانات الدراسة. وبناءً على ذلك يمكن نمذجة الفترات البيانية لسقوط الأمطار في كل محطة بدالة وايبل كمعدل زمني للحدوث.

ومن هذين الشكلين تم تقدير معادلتي الخطين المستقيمين الملائمين للشكليين الانشاريين لكل محطة وللذين تمثلهما المعادلة في الصيغة (5). وإنَّ المعادلتين اللتين تم الحصول عليهما من كل محطة يمكن من خلالهما إيجاد مقدرات للمعلمتين β و λ في دالة وايبيل للمعدل اليومي لسقوط الأمطار، وهذه المقدرات موضحة في الجدول الآتي:

الجدول (1): معادلتنا الخط المستقيم الملائمان للشكليين الانشاريين مع مقدار λ و β .

$\hat{\lambda}$	$\hat{\beta}$	معادلة الخط المستقيم الملائمة	المحطة
0.3679	0.83	$\ln[m(t)] = -1 + 0.83 \ln t$	الموصل
0.3012	0.87	$\ln[m(t)] = -1.2 + 0.87 \ln t$	ربيعية

وبالتعويض عن القيمتين المقدرتين بالطريقة البيانية للمعلمتين β و λ في دالة وايبيل للمعدل اليومي لسقوط الأمطار الموضحة في الصيغة (1) لكل محطة تم الحصول على النتائج الآتية:

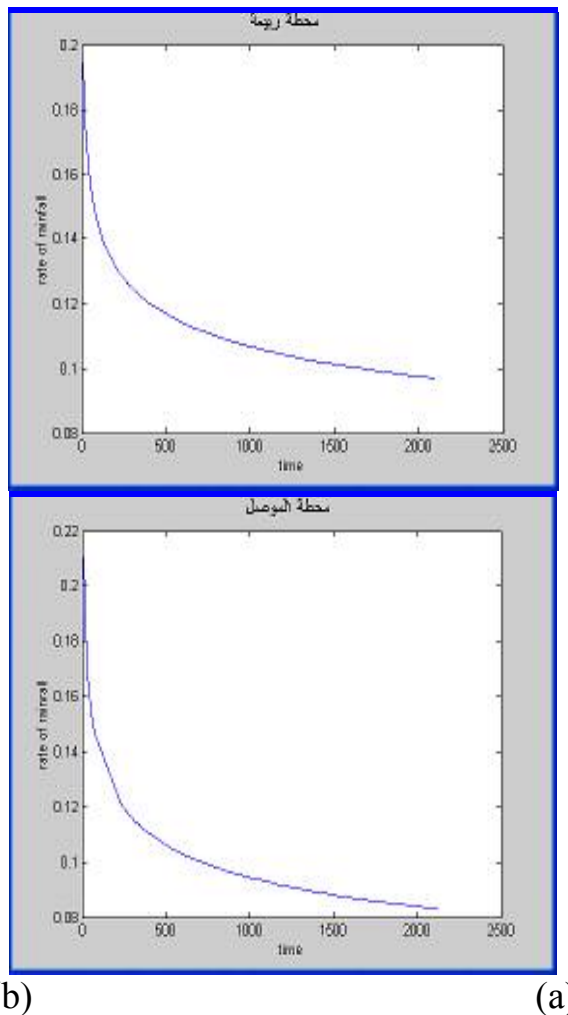
1. دالة معدل اليومي لسقوط الأمطار في محطة الموصل:

$$\hat{\lambda}_1(t) = 0.30536 t^{-0.17} ; 0 < t \leq 2132$$

2. دالة معدل اليومي لسقوط الأمطار في محطة ربيعة:

$$\hat{\lambda}_2(t) = 0.26204 t^{-0.13} ; 0 < t \leq 2105$$

والشكل (2) يوضح منحنى دالة معدل اليومي لسقوط الأمطار الموصوفة بدالة وايبيل المحسوبة بالطريقة البيانية وكل محطة.



الشكل(2): المعدل اليومي لسقوط الأمطار في محطة الموصل وربيعه بالطريقة
البيانية.

وعليه يمكن إيجاد المعدل اليومي لسقوط الأمطار للفترة قيد الدراسة، أي عندما($t = t_0$) ، ولكل محطة كما في الجدول الآتي:

الجدول (2): المعدل اليومي لسقوط الأمطار ومتى متوسط الزمن بين حدوث المطرات
للفترة قيد الدراسة وكل محطة بالطريقة البيانية.

المحطة	المعدل اليومي لسقوط الأمطار (مطره/يوم)	متى متوسط الزمن بين حدوث المطرات (يوم)
الموصل	0.08297	12.05255
ربيعه	0.09690	10.31992

5-1 تقدير الإمكان الأعظم للمعدل اليومي لسقوط الأمطار:

Maximum Likelihood Estimates for the Daily Rate of Rainfall

تبين النتائج البيانية إن عملية وايبل ملائمة لبيانات الدراسة، وقد تم تقدير معلمات دالة المعدل اليومي لسقوط الأمطار لعملية وايبل باستخدام طريقة الإمكان الأعظم وللمحطتين قيد الدراسة كما في الجدول الآتي:

الجدول (3): مقدرات الإمكان الأعظم لمعلمتي المعدل اليومي لسقوط الأمطار.

المحطة	$\hat{\beta}$	$\hat{\lambda}$
الموصل	0.8718	0.2669
ربيعه	0.8795	0.2747

وبالتعميض عن القيميتين المقدرتين للمعلمتي $\hat{\beta}$ و $\hat{\lambda}$ في دالة وايبل للمعدل اليومي لسقوط الأمطار الموضحة في الصيغة (1) لكل محطة تم الحصول على النتائج الآتية:

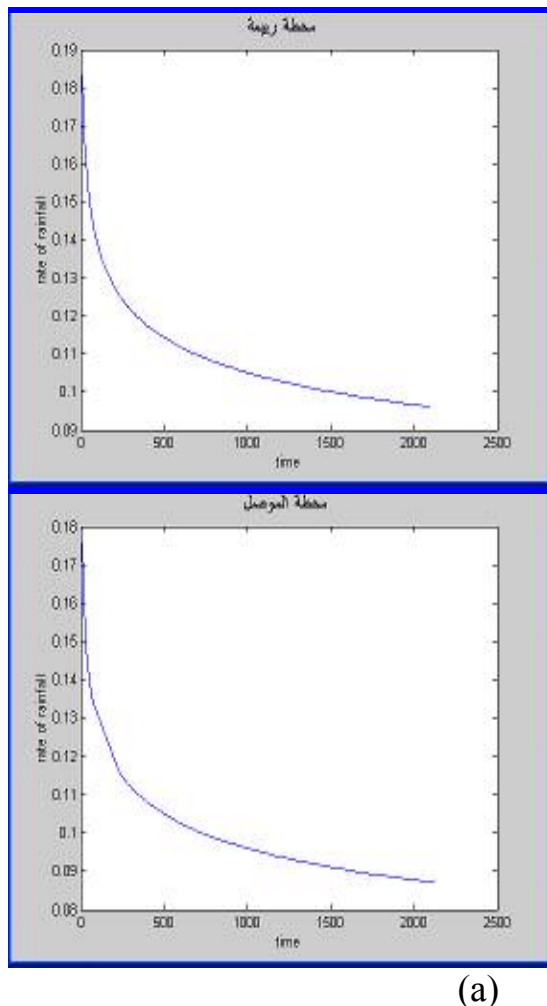
1. دالة المعدل اليومي لسقوط الأمطار في محطة الموصل:

$$\hat{\lambda}_1(t) = 0.2327t^{-0.1282} ; 0 < t \leq 2132$$

2. دالة المعدل اليومي لسقوط الأمطار في محطة ربيعة:

$$\hat{\lambda}_2(t) = 0.2416t^{-0.1205} ; 0 < t \leq 2105$$

والشكل (3) يوضح منحنى دالة المعدل اليومي لسقوط الأمطار الموصوفة بدالة وايبل المقدرة باستخدام طريقة الإمكان الأعظم وكل محطة كما يأتي:



الشكل(3):المعدل اليومي لسقوط الأمطار في محطة الموصل وربيعه بطريقة الإمكان الأعظم.

كما يمكن إيجاد المعدل اليومي لسقوط الأمطار للفترة قيد الدراسة، أي عندما ($t = t_0$) ولكل محطة، وكذلك إيجاد متوسط الزمن بين حدوث المطرات خلال الفترة قيد الدراسة، والجدول الآتي يبيّن المعدل اليومي لسقوط الأمطار ومتوسط الزمن بين حدوث المطرات خلال فترة السنوات السبعة قيد الدراسة وكل محطة:

الجدول (4): المعدل اليومي لسقوط الأمطار ومتى متوسط الزمن بين حدوث المطرات للفترة قيد الدراسة وكل محطة باستخدام طريقة الإمكان الأعظم.

المحطة	المعدل اليومي لسقوط الأمطار(مطره/يوم)	متى متوسط الزمن بين حدوث المطرات(يوم)
الموصل	0.0871	11.4811
ربيعية	0.0961	10.4058

5-2 تقدير المربعات الصغرى للمعدل اليومي لسقوط الأمطار:

Least Squares Estimates for the Daily Rate of Rainfall

إنَّ الطريقة الثالثة المستخدمة لتقدير معلمات المعدل اليومي لسقوط الأمطار هي طريقة المربعات الصغرى، وقد تم تقدير معلمات عملية وايبل باستخدام هذه الطريقة وللمحطتين قيد الدراسة وكما يأتي:

الجدول (5): مقدرات المربعات الصغرى لمعلمتي المعدل اليومي لسقوط الأمطار.

المحطة	$\hat{\beta}$	$\hat{\lambda}$
الموصل	0.8289	0.3590
ربيعية	0.8726	0.2920

وبالتعميض عن القيمتين المقدرتين للمعلمتين $\hat{\beta}$ و $\hat{\lambda}$ في دالة وايبل للمعدل اليومي لسقوط الأمطار الموضحة في الصيغة (1) لكل محطة تم الحصول على النتائج الآتية:

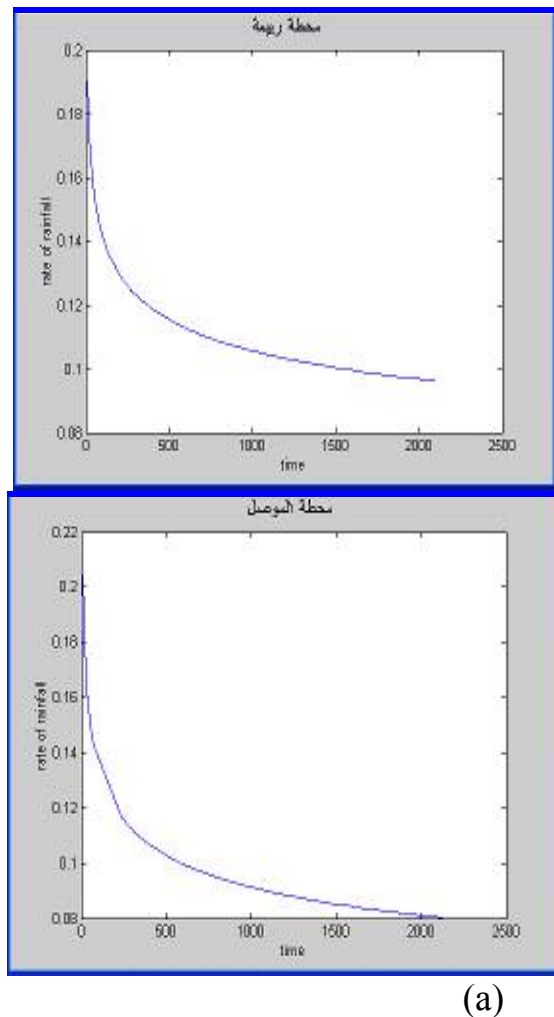
1. دالة المعدل اليومي لسقوط الأمطار في محطة الموصل:

$$\hat{\lambda}_1(t) = 0.2976 t^{-0.1711} ; \quad 0 < t \leq 2132$$

2. دالة المعدل اليومي لسقوط الأمطار في محطة ربيعة:

$$\hat{\lambda}_2(t) = 0.2548 t^{-0.1274} ; \quad 0 < t \leq 2105$$

والشكل (4) يوضح منحنى دالة المعدل اليومي لسقوط الأمطار الموصوفة بدالة وايبل المقدرة باستخدام طريقة المربعات الصغرى وكل محطة كما يأتي:



الشكل (4):المعدل اليومي لسقوط الأمطار في محطة الموصل وربيعية بطريقة المربعات الصغرى.

ويمكن إيجاد المعدل اليومي لسقوط الأمطار للفترة قيد الدراسة، أي عندما $t = t_0$ وكل محطة، وكذلك إيجاد متوسط الزمن بين حدوث المطرات خلال الفترة قيد الدراسة، والجدول الآتي يبيّن المعدل اليومي لسقوط الأمطار ومتوسط الزمن بين حدوث المطرات خلال فترة السنوات السبعة قيد الدراسة وكل محطة:

الجدول (6): المعدل اليومي لسقوط الأمطار ومتى من الزمن بين حدوث المطرات للفترة قيد الدراسة لكل محطة باستخدام طريقة المربعات الصغرى.

المحطة	المعدل اليومي لسقوط الأمطار (مطره/يوم)	متى من الزمن بين حدوث المطرات (يوم)
الموصل	0.0802	12.4688
ربيعية	0.0961	10.4058

5-3 حدّ الثقة للمعدل اليومي لسقوط الأمطار:

Confidence Intervals for Daily Rate of Rainfall

لإيجاد حدّي الثقة للمعدل اليومي لسقوط الأمطار للمحطتين قيد الدراسة، تم استخدام الصيغة في المعادلة (25) التي تعتمد على تباين المعدل اليومي لسقوط الأمطار. كما تم إيجاد التباين والتغير لمعلمتي المعدل اليومي لسقوط الأمطار كما في الجدول الآتي:

الجدول (7): مقدرات التباين والتغير لمعلمتي المعدل اليومي لسقوط الأمطار.

المحطة	تباین المعلمة $\hat{\beta}$	تباین المعلمة $\hat{\lambda}$	التغير بين $\hat{\lambda}$ و $\hat{\beta}$	تباین المعلمة $\hat{\lambda}(t_0)$
الموصل	0.0036	0.0153	-0.0073	0.000071228
ربيعية	0.0034	0.0152	-0.0071	0.000080308

وعليه من خلال الجدول السابق يمكن إيجاد حدّي الثقة للمعدل الحقيقى اليومي لسقوط الأمطار لكل محطة خلال فترة السنوات السبع قيد الدراسة وبمستوى ثقة 95% ، وكما يأتي:

1. حداً الثقة للمعدل اليومي لسقوط الأمطار في محطة الموصل:

$$0.0733 \leq \lambda_1(t_0) \leq 0.1009$$

2. حداً الثقة للمعدل اليومي لسقوط الأمطار في محطة ربيعة:

$$0.0814 \leq \lambda_2(t_0) \leq 0.1108$$

6. مناقشة النتائج:

لقد تم تقدير المعدل اليومي لسقوط الأمطار بالطرائق الإحصائية المستخدمة في البحث. ومن مقارنة النتائج التي تم الحصول عليها من هذه الطرائق لتقدير معلمتي المعدل اليومي لسقوط الأمطار، يتضح الانسجام الكبير فيما بينها مما يدل على التقارب الكبير في كفاءة هذه الطرائق، والجدول التالي يبيّن قيم هذه المقدرات:

الجدول (8): مقدرات معلمات المعدل اليومي لسقوط الأمطار بالطرائق الثلاث.

المحطة	مقدراً طريقة الإمكان الأعظم	مقدراً طريقة المرיבعات الصغرى	مقدراً طريقة البيانية	المقدّر $\hat{\lambda}$	المقدّر $\hat{\beta}$
الموصل	0.2669	0.8289	0.3590	0.3679	0.8300
ربيعه	0.2747	0.8726	0.2920	0.3012	0.8700

من الجدول (8) نلاحظ أنَّ مقدرات معلمة الشكل β في دالة وايل للمعدل اليومي لسقوط الأمطار بالطرائق المستخدمة أقل من الواحد، مما يعطي مؤشراً واضحاً على التناقض في المعدل اليومي لسقوط الأمطار في المحطتين بمرور الزمن، أي أنَّ الاتجاه العام للسقوط اليومي للأمطار خلال الفترة قيد الدراسة هو باتجاه التناقض بشكل عام، كما هو واضح من الأشكال الخاصة بالمعدل اليومي لسقوط الأمطار في المحطتين قيد الدراسة.

ولمعرفة معنوية هذه المعلمات تم استخدام المختبر الإحصائي t الذي يمثل النسبة بين المقدّر والخطاء المعياري له. والجدول التالي يبيّن الأخطاء المعيارية للمقدّرين اللذين تم الحصول على قيم t المحسوبة :

الجدول (9): الأخطاء المعيارية للمقدّرين $\hat{\beta}$ و $\hat{\lambda}$ والنسبة بين المقدّرين وأخطائهم المعيارية للمحطتين قيد الدراسة.

t_{cal}		الأخطاء المعيارية		المحطة
$\hat{\lambda}$	$\hat{\beta}$	$\hat{\lambda}$	$\hat{\beta}$	
31.40	212.64	0.0085	0.0041	الموصل
33.91	231.45	0.0081	0.0038	ربيعة

يُلاحظ من الجدول (9) أنَّ النسبة بين المقدّرين وأخطائهم المعيارية، والتي تمثل القيمة المحسوبة للمختبر الإحصائي t ، كبيرة جدًا في قيمتها المطلقة مما يؤكّد معنوية هذه المقدّرات في المعدل اليومي لسقوط الأمطار للمحطتين قيد الدراسة، وهذا ما يعزّز الافتراض بمعنى هاتين المعلمتين في النموذج الرياضي المقترن لعملية وايل.

المصادر

1. سليمان، مثنى صبّحي، (2006)، "التحليل الإحصائي للعملية البواسونية غير المتاجسة مع تطبيق"، أطروحة دكتوراه غير منشورة، كلية علوم الحاسوب والرياضيات، جامعة الموصل.
2. Crow, L. H. (1997), "Reliability Growth Reference". The HTML version of the printed textbook.
<http://www.weibll.com>.
3. Duane, J. T. (1964), "Learning curve approach to reliability monitoring". IEEE Transaction on Aerospace, As-vol(2), 563-566.
4. Erkanli, A., Merrick, J. R. and Soyer, R. (2002), "Parametric and semi-parametric Bayesian models for accelerated life tests".
<http://www.people.vcu.edu/~jrmercic/tenure/preparation>.

5. Kuhl, M. E. and Wilson, J. R. (2000), "Least squares estimation of non homogeneous Poisson processes". Journal of Statistical Computation and Simulation, 67, 75-108.
6. Kuhl, M. E., Damerdji, H. and Wilson, J. R. (1997), "Estimating and simulating Poisson process with trends or asymmetric cyclic effects". Piscataway, New Jersey: Institute of Electrical and Electronics Engineers, 287-295.
7. Kuo, L. and Ghosh, S. K. (1997), "Bayesian non parametric inference for non homogeneous Poisson processes". Tech. Rep. No. 97-18, Statistics Department, University of Connecticut.
8. Leemis, L. M. (1991), "Non parametric estimation of the cumulative intensity function for a non-homogeneous Poisson process". Management Science, 37(7), 886-900.
9. Massey, W. A., Parker, G. A. and Whitt, W. (1996), "Estimating the parameters of a non-homogeneous Poisson process with linear rate". Telecommunication Systems, 5, 361-388.
10. Soyer, R. and Tarimcilar, M.M. (2005), "Modeling and analysis of center arrival data: A Bayesian approach".
http://home.gwu.edu/~soyer/soyer_tarimcilar_call_center.pdf